

тические диаграммы вырождаются в диаграммы типа сигары с точкой минимума.

На фиг. 4 приведены зависимости скоростей роста от температуры для различных составов жидкой фазы. Линейная зависимость скоростей кристаллизации от температуры для чистых α - и β -компонент свидетельствует о нормальном механизме роста изученных сплавов. В то же время нелинейная температурная зависимость скорости для $c_f^\alpha = 0,65 - 0,7$ означает специфику проявления нормального механизма для многокомпонентных систем.

Таким образом, в общем случае критерием того или иного механизма роста может служить, по-видимому, степень шероховатости растущих граней.

Расчет на ЭВМ проведен В. Ф. Киселевым.

Поступила 1 VIII 1977

ЛИТЕРАТУРА

- Cherpanova T. A., Shirin A. V., Borisov V. T. Computer simulation of crystal growth from solution.— In: Industrial crystallization. N. Y., 1977.
- Черепанова Т. А., Ширин А. В., Борисов В. Т. Моделирование роста бинарного кристалла на ЭВМ.— «Кристаллография», 1977, т. 22, № 2.
- Suzuki M., Kubo R. Dynamics of the Ising model near the critical point. I.— «J. Phys. Soc. Japan», 1968, vol. 24, N 1.

УДК 536.715

ИНТЕРПОЛЯЦИОННАЯ ТЕРМОДИНАМИЧЕСКАЯ МОДЕЛЬ ДЛЯ ВОДЫ В ОБЛАСТИ ОДНОРОДНЫХ И ДВУХФАЗНЫХ СОСТОЯНИЙ

C. B. Бобровский, B. M. Гоголев, M. Г. Менжулин,
P. B. Шилова
(Ленинград)

Для решения многих задач газовой динамики необходимо единое математическое описание термодинамических свойств воды в широкой области состояний, охватывающей как обычные, так и сверхвысокие давления и температуры. Существующие уравнения состояния (например, [1—4] и др.) справедливы в ограниченных диапазонах изменения термодинамических параметров. В работе [5] предложен способ построения интерполяционного уравнения состояния воды и водяного пара в широкой области однородных состояний, полученные термодинамические функции описываются с удовлетворительной точностью свойства среды в области давлений $p > 10^8$ Па (1 Па = 10^{-5} бар). В данной работе уточняются и развиваются результаты работы [5] с целью построения единого аналитического описания свойств воды в области однородных и двухфазных состояний.

Описание термодинамических свойств во всей области однородных состояний основывается на определении термодинамических функций среды для некоторых опорных состояний и достаточно гладкой интерпо-

ляции между этими состояниями. Для построения интерполяционных термодинамических функций представим свободную энергию в виде

$$(1) \quad F = E_x + F_k + F_{\text{ОН}} + \Delta F_1 + \Delta F_2 + F_e,$$

где E_x — энергия упругого взаимодействия при $T = 0$; F_k — тепловая часть свободной энергии конденсированного состояния среды; $F_{\text{ОН}}$ — свободная энергия водородных связей и других эффектов, не учитывающихся слагаемыми (1); ΔF_1 и ΔF_2 — поправки, учитывающие процессы испарения и диссоциации соответственно; F_e — свободная энергия электронного состояния.

Водородные связи существуют в области ниже критической температуры $T_{\text{кр}}$. Поэтому в области $T > T_{\text{кр}}$ принимается $F_{\text{ОН}} \equiv 0$.

Выражение для F_k может быть найдено из предположения, что в конденсированном состоянии молекула воды совершает поступательные колебания в трех взаимно перпендикулярных направлениях; вращательные колебания в двух направлениях, перпендикулярных дипольной оси; свободное вращение вокруг дипольной оси. Свободная энергия поступательных и крутых колебаний может быть записана в дебаевском приближении [6]. Тогда на основании известных соотношений статистической физики [6] получим

$$(2) \quad F_k = \frac{R}{\mu} T \ln \left[(1 - e^{-\Theta_D/T})^5 \left(\frac{\Theta_r}{T} \right)^{1/2} \frac{1}{\delta} \prod_{i=1}^3 (1 - e^{-\Theta_i/T}) \right],$$

где R — универсальная газовая постоянная; μ — молекулярный вес воды; Θ_D — характеристическая температура Дебая;

$$(3) \quad \Theta_r = h^2/8\pi^2 k I,$$

I — момент инерции молекулы воды относительно дипольной оси; h — постоянная Планка; k — постоянная Больцмана; $\delta = 2$ — фактор симметрии молекулы воды; $\Theta_1, \Theta_2, \Theta_3$ — характеристические температуры внутренних колебаний молекулы воды ($\Theta_1 = 5510\text{K}$; $\Theta_2 = 2370\text{K}$; $\Theta_3 = 5660\text{K}$).

Поправку ΔF_1 определим в виде, аналогичном [7],

$$(4) \quad \Delta F_1 = \frac{R}{\mu} T \ln (1 + Z_1^{n_1})^{1/n_1},$$

где $Z_1(v, T)$ — некоторая неизвестная функция.

Определим ее так, чтобы при $Z_1 \gg 1$ выражение (2) переходило в свободную энергию идеально-газового недиссоциированного состояния молекул воды [6]:

$$\begin{aligned} F_{\text{нг}} = & \frac{R}{\mu} T \ln \left[\left(\frac{h^2}{2\pi mkT} \right)^{3/2} \left(\frac{N_A}{2,72\mu v} \right) \left(\frac{\Theta_{r_1}\Theta_{r_2}\Theta_{r_3}}{T^3} \right)^{1/2} \times \right. \\ & \left. \times \frac{2}{V\pi} \prod_{i=1}^3 (1 - e^{-\Theta_i/T_i}) \right] + F_{e_{\text{H,O}}}, \end{aligned}$$

где v — удельный объем; m — вес молекулы воды; N_A — число Авогадро; $\Theta_{r_1}, \Theta_{r_2}, \Theta_{r_3}$ — характеристические температуры, определяемые выражением (3), в котором I_1, I_2, I_3 соответствуют моментам инерции молекулы воды относительно трех взаимно перпендикулярных направлений; $\Theta_{r_1} = 40,1\text{K}$; $\Theta_{r_2} = 20,9\text{K}$; $\Theta_{r_3} = 13,3\text{K}$.

Из условия предельных переходов получим

$$(5) \quad Z_1 = A_1 v^{-1} T^{-5/2} [1 - \exp(-\Theta_D/T)]^{-5},$$

где $A_1 = \left(\frac{h^2}{2\pi mk}\right)^{3/2} \frac{N_A}{2,72\mu} (\Theta_{r_1} \Theta_{r_3})^{1/2} = 0,02 \text{ K}^{5/2} \cdot \text{м}^3 \cdot \text{кг}^{-1}$.

Поправку ΔF_2 определим в аналогичном (4) виде

$$(6) \quad \Delta F_2 = -\frac{R}{\mu} T \ln (1 + Z_2^{n_2})^{1/n_2}$$

и потребуем, чтобы при $Z_2 \gg 1$ выражение (6) переходило в свободную энергию идеально-газовой полностью диссоциированной смеси компонентов молекулы воды, состоящей из атомов кислорода и водорода:

$$F_d = -\frac{R}{\mu} T \ln \left[\frac{h^2 2^{4/9} (N_A/\mu)^{2/3}}{2\pi m_O^{1/3} m_H^{2/3} (2,72)^{2/3} k T v^{2/3}} \right]^{9/2} + F_{eO} + F_{eH},$$

где m_O , m_H — массы атомов кислорода и водорода; F_{eO} , F_{eH} — свободные энергии электронного состояния атомов кислорода и водорода соответственно.

Постоянные n_1 и n_2 в выражениях (4), (6) являются свободными параметрами. Их значения ($n_1 = 0,4$ и $n_2 = 0,5$) выбраны из условия наилучшего соответствия полученных термодинамических функций экспериментальным данным. Свободная энергия электронного состояния F_e в общем виде может быть представлена следующим образом:

$$(7) \quad F_e = -\frac{R}{\mu} T \ln g_0 e^{-\varepsilon_0/kT} + F_{eB},$$

где g_0 , ε_0 — статистический вес и энергия в основном состоянии соответственно; F_{eB} — свободная энергия электронного возбуждения.

Тогда из условий предельных переходов следует

$$Z_2 = A_2 v^2 T^{-3/2} \exp(-\varepsilon/kT) \text{ при } T \leq 7,38 \cdot 10^4 \text{ К},$$

$$Z_2 = A'_2 v^2 T^{3/2} \exp(\varepsilon/kT) \text{ при } T > 7,38 \cdot 10^4 \text{ К},$$

где

$$(8) \quad A_2 = \frac{(2\pi)^3 k^3 \mu_O^{1/2} \mu_H^{3/2} 2,72^2 \sigma g_0 g_{OH}^2}{4h^6 N_A^5 g_{OH_2O} \pi^{1/2}} \prod_{i=1}^3 \Theta_{r_i} \prod_{i=1}^3 \Theta_i = 8,6 \cdot 10^9;$$

$A'_2 = 1,067 \cdot 10^{-6}$; μ_O и μ_H — атомные веса кислорода и водорода; ε — энергия диссоциации молекулы воды на атомы кислорода и водорода.

В данной работе выражение для F_{eB} не строится. Для описания давления p_e и энергии E_e теплового возбуждения электронов используются уточненные по сравнению с [8] интерполяционные формулы, построенные на основе численных расчетов модели атома Томаса—Ферми [9]. На основании (1), (2), (4)–(8) с помощью известных термодинамических соотношений получим следующие выражения для давления и внутренней энергии:

$$(9) \quad p = p_x + p_K + p_{OH} + \Delta p_1 + \Delta p_2 + p_e;$$

$$(10) \quad E = E_x + E_K + E_{OH} + \Delta E_1 + \Delta E_2 + E_e,$$

где p_x , E_x — давление и энергия упругого взаимодействия;

$$(11) \quad p_R = 5 \frac{R}{\mu} \frac{\gamma}{v} \frac{\Theta_D}{\exp(\Theta_D/T) - 1}, \quad \gamma = -\frac{\partial \ln \Theta_D}{\partial \ln v},$$

$$\Delta p_1 = \frac{R}{\mu} \frac{T}{v} \left[1 - 5\gamma \frac{\Theta_D/T}{\exp(\Theta_D/T) - 1} \right] Z_1^{n_1} / (1 + Z_1^{n_1}),$$

$$\Delta p_2 = 2 \frac{RT}{\mu v} \frac{Z_2^{n_2}}{1 + Z_2^{n_2}},$$

$$p_e = \frac{R}{\mu} \frac{10^{-4} T^2}{1,235 \bar{v}^{1/3} + T \bar{v} \cdot 10^{-5}} \left(1 + \frac{\bar{v}^{1/2}}{1,02 + 7,69 \cdot 10^{-10} T^{3/2} \bar{v}} \right)^{-1} \frac{1}{\left(\frac{10^{12}}{\bar{v} T^3} + 1 \right)},$$

$$E_R = \frac{RT}{\mu} \left[5 \frac{\Theta_D}{T} \frac{1}{\exp(\Theta_D/T) - 1} + \frac{1}{2} + \sum_{i=1}^3 \frac{(\Theta_i/T)}{\exp(\Theta_i/T) - 1} \right],$$

$$\Delta E_1 = \frac{5}{2} \frac{RT}{\mu} \left[1 + 2 \frac{\Theta_D}{T} \frac{1}{\exp(\Theta_D/T) - 1} \right] \frac{Z_1^{n_1}}{1 + Z_1^{n_1}},$$

$$\Delta E_2 = \frac{RT}{\mu} \left(\frac{e}{kT} - \frac{3}{2} \right) \frac{Z_2^{n_2}}{1 + Z_2^{n_2}},$$

$$E_e = p_e \bar{v} \left[\frac{3}{2} \frac{(0,358 T^{8/9} + 1,825 \cdot 10^4) \bar{v}^{1/3} \cdot 10^4}{T^{3/2} + 2,94 \cdot 10^8 + 25,4 T \bar{v}} \right] \left[1 + \frac{2,1 \cdot 10^6 \bar{v}^{-0,264} T^2}{(T + 1,665 \cdot 10^6 \bar{v}^{-0,223})^2} \right],$$

где $\bar{v} = v/v_0$; $v_0 = 10^{-3} \text{ м}^3/\text{кг}$. В формуле (11) γ — коэффициент Грюнайзена. Можно считать, что величина и температура Θ_D являются функциями только удельного объема. Тогда будет иметь место связь [6]

$$\Theta_D = \Theta_{D_0} \exp \left(- \int_{v_0}^v \frac{\gamma}{v} dv \right).$$

Величина Θ_{D_0} может быть найдена из данных по скорости звука при нормальном объеме v_0 . Пользуясь приближением Дебая и учитывая, что молекула воды обладает пятью дебаевскими степенями свободы, получим

$$\Theta_D = (h/k)(5N/4\pi v)^{1/3} a.$$

Для $v_0 = 1,0018 \cdot 10^{-3} \text{ м}^3/\text{кг}$ и $a_0 = 1483 \text{ м}/\text{с}$ имеем $\Theta_{D_0} = 170 \text{ К}$.

Вид функции $\gamma(v)$ определим на основе следующих представлений. Известны асимптотические значения этой функции [6, 10]:

$$\lim_{v \rightarrow \infty} \gamma(v) = 0,5, \quad \lim_{v \rightarrow \infty} \gamma(v) = 2/3.$$

Для получения промежуточных точек использовался ряд экспериментальных изохор в закритической области состояний, в которой $p_{\text{ОН}} = 0$.

Рассмотрение изохор позволяет исключить p_x для каждой пары температур и определить из (9) величины γ и Θ_D . Вычисленные значения $\gamma(v)$ аппроксимируются зависимостями:

$$\gamma = 0,4053 + 29,10(\sigma - 0,0949)^2 \text{ при } \sigma \leq 0,1,$$

$$\gamma = 0,3437 + 0,3530(\sigma + 0,32)^2 \text{ при } 0,1 \leq \sigma \leq 1,$$

$$\gamma = 0,0282 + 0,9305\sigma \text{ при } 1 \leq \sigma \leq 1,2,$$

$$\gamma = 1/2 + [\sigma/(1,8\sigma^2 - 4,15294\sigma + 3,88593)]^2 \text{ при } \sigma \geq 1,2,$$

где $\sigma = v_0/v$.

Функция p_x определялась в несколько этапов. В области плотностей $\sigma < 1,3$ с этой целью использовались известные данные по зависимостям между p , v и T воды и водяного пара [3, 4]. Определение p_x выполнялось в закритической области температур, в которой $p_{\text{он}} = 0$. Величина p_x находилась как разность между полным давлением и тепловой частью уравнения (9). Приняв эти величины p_x справедливыми и в области температур $T < T_{\text{кр}}$, с помощью данных по зависимостям между p , v и T и уравнения (9) нашли составляющие давления $p_{\text{он}}$.

Это позволило использовать данные по динамической сжимаемости воды для определения p_x в области плотностей $1,3 < \sigma < 2,3$ с помощью уравнений (9), (10) и общих условий на фронте ударной волны (например, [11]). В области сверхвысоких сжатий использовались результаты расчета холодной составляющей давления по модели атома Томаса — Ферми [9].

Между этими областями функция $p_x(v)$ плавно интерполировалась. Результаты вычисления p_x представлены в табл. 1 в виде интерполяционных зависимостей: $p_x = \left(a_0 + \sum_{i=1}^4 a_i \sigma^{n+i-1} \right) 10^{-1}$ Па.

Функция $p_{\text{он}}(v, T)$ может быть представлена в виде

$$(12) \quad p_{\text{он}} = f_1(\bar{v})f_2(T),$$

где

$$f_1(\bar{v}) = 7,08(\bar{v} - 0,84467)(1,90956 - \bar{v}) \exp[-1,94(\bar{v} - 1)];$$

$$f_2(T) = [85,7935(100/T)^3 - 25,9612(100/T)^2 + 1,040624(100/T)] \cdot 10^8 \text{ Па}$$

при $T < 353 \text{ К}$;

$$f_2(T) = 8,0963 \cdot 10^{13}(100/T)^{12,23} \text{ Па при } T \geq 353 \text{ К.}$$

Составляющая внутренней энергии E_x определяется с помощью соотношения $E_x = - \int_{v_0}^v p_x(\sigma) dv$.

Для определения $E_{\text{он}}$ воспользуемся термодинамическим тождеством

$$(13) \quad (\partial E / \partial v)_T = T(\partial p / \partial T)_v - p.$$

Подставляя в (13) соотношение (12) и интегрируя по v от $v_0 = 10^{-3} \text{ м}^3/\text{кг}$, получим

$$E_{\text{он}} = E_{\text{он}}(v_0, T) - \psi(T)0,365 \exp[-1,94(\bar{v} - 1)] \times \\ \times (\bar{v} - 1)(0,7233 - \bar{v})10^3 \text{ Дж/кг},$$

где

$$\psi(T) = -43,23f_2(T) \text{ при } T \geq 353 \text{ К};$$

$$\psi(T) = -3,4317 \cdot 10^{11}(100/T)^3 + 7,78 \cdot 10^{10}(100/T)^2 \text{ при } T \leq 353 \text{ К.}$$

Функцию $E_{\text{он}}(v_0, T)$ определим на основе экспериментальной изохоры $v = v_0$ и уравнения (10). Аппроксимация полученных результатов дает

Таблица 1

Диапазон σ	a_0	a_1	a_2	a_3	a_4	n
$0 \leq \sigma \leq 0,0080784$	0	$-6,6526024 \cdot 10^{11}$	$4,33225625 \cdot 10^{14}$	$-1,6864422 \cdot 10^{16}$	$8,0978158 \cdot 10^{17}$	2,0
$0,0080784 \leq \sigma \leq 0,042517$	0	$-4,7942026 \cdot 10^{10}$	$-4,2060940 \cdot 10^{10}$	$6,0175248 \cdot 10^{12}$	$-6,3459992 \cdot 10^{13}$	1,44
$0,042517 \leq \sigma \leq 0,17094$	0	$-4,4586522 \cdot 10^9$	$3,3000393 \cdot 10^{10}$	$-3,4042734 \cdot 10^{11}$	$8,3668054 \cdot 10^{11}$	1,02
$0,17094 \leq \sigma \leq 0,490196$	0	$-4,0757083 \cdot 10^{10}$	$4,0062254 \cdot 10^{10}$	$-2,3676922 \cdot 10^{10}$	$4,7967241 \cdot 10^{10}$	1,48
$0,490196 \leq \sigma \leq 0,654879$	0	$-4,5344344 \cdot 10^{10}$	$3,5785266 \cdot 10^{10}$	$-7,4356182 \cdot 10^{10}$	$4,7128044 \cdot 10^{10}$	1,48
$0,654879 \leq \sigma \leq 0,863414$	0	$-2,5459750 \cdot 10^{10}$	$8,4761643 \cdot 10^{10}$	$-4,3050207 \cdot 10^{11}$	$6,9192589 \cdot 10^{11}$	1,26
$0,863414 \leq \sigma \leq 0,931703$	0	$-2,7513792 \cdot 10^{11}$	$9,2381612 \cdot 10^{11}$	$-1,0720450 \cdot 10^{12}$	$4,4848707 \cdot 10^{11}$	1
$0,931706 \leq \sigma \leq 1$	0	$-2,2820456 \cdot 10^{11}$	$6,9884679 \cdot 10^{11}$	$-7,5132430 \cdot 10^{11}$	$2,7538647 \cdot 10^{11}$	1
$1 \leq \sigma \leq 1,2676$						
$1,2676 \leq \sigma \leq 1,86$						
$1,86 \leq \sigma \leq 3,45$						
$4,8 \geq \sigma \geq 3,45$						
$\sigma \geq 4,8$						

Таблица 2

$p \cdot 10^{-5}$, Па	Отклонение от [4], %				
	δT	$\delta v_{\text{ж}}$	$\delta v_{\text{г}}$	$\delta(E - E_0)_{\text{ж}}$	$\delta(E - E_0)_{\text{г}}$
1	-0,12	-0,04	-0,1	-0,8	+4,3
2	-0,05	+0,02	-0,6	+0,1	+4,0
4	-0,04	-0,04	-0,04	+0,3	+3,7
6	-0,03	-0,05	+1,7	+0,3	+3,4
8	+0,01	-0,01	+3,4	+0,4	+3,3
10	+0,06	+0,04	+3,4	+0,4	+3,2
20	+0,06	-0,02	+1,1	0,0	+2,1
40	+0,01	-0,18	-4,3	-0,8	-0,42
80	-0,19	-0,17	-0,5	-1,5	-1,1
100	-0,16	+0,08	+2,3	-1,5	-1,0
120	+0,02	+0,04	+2,1	-1,8	-1,0
140	-0,08	-0,32	-0,5	-1,8	-1,0
160	-0,08	-0,41	+4,6	-1,9	+0,1
180	-0,5	+0,30	+12	-1,5	+1,5
200	+0,03	+0,64	+1,1	-0,7	+0,6
215	0	-4,2	+9	-1,8	+2,7

следующую зависимость:

$$E_{\text{он}}(v_0, T) = 0,4616 \cdot 10^{-3} - \frac{2,2 \cdot 10^3 + 6,8T - 5,25 \cdot 10^{-3}T^2}{1 + \frac{3,32}{\left[1 - \exp\left(-\frac{170}{T}\right)\right]T}} \text{ Дж/кг.}$$

Полученные термодинамические функции справедливы для описания однородных состояний жидкости и газа. С точностью до 5% по давлению и внутренней энергии в диапазоне $p > 5 \cdot 10^6$ Па они согласуются с данными работ [3, 4].

Рассмотрим вопрос об описании термодинамических свойств в области двухфазных состояний. Для аналитического описания параметров состояния на границе двухфазности была выполнена аппроксимация имеющихся данных. Граница области двухфазных состояний определена на основе известных условий, состоящих в равенстве по обе стороны от нее давления, температуры и энергии Гиббса.

В табл. 2 приводится сопоставление результатов вычислений с данными [4].

При аппроксимации использовались асимптотические представления параметров в окрестности критической точки ($v_{\text{кр}}, T_{\text{кр}}$), полученные на основании известной [6] асимптотики для давления и объема:

$$\begin{aligned} E &\approx -[T_{\text{кр}}A/2 - (B/12)(v_{\text{кр}} - v)^2](v_{\text{кр}} - v)^2 - \\ &\quad -(p_{\text{кр}} - CT_{\text{кр}})(v_{\text{кр}} - v) + \text{const}, \\ S &\approx -(A^2/2)(v_{\text{кр}} - v)^2 - C(v_{\text{кр}} - v) + \text{const}, \end{aligned}$$

где S — энтропия; $C = 2,8 \cdot 10 \text{ Н/м}^2 \cdot \text{К}$; $A = 0,14 \cdot 10^{12} \text{ Дж/м}^6 \cdot \text{К}$; $B/A = 16 \cdot 10^6 \text{ кг}^2 \cdot \text{К}/\text{м}^6$.

В результате получены следующие зависимости:

$$(14) \quad E_{ж} - E_0 = 2,056 \cdot 10^{-3} - [0,00655(T_{kp}^2 - T^2) + \\ + 68,8\sqrt{T_{kp} - T}] 10^{-3} f_E, \text{ Дж/кг};$$

$$(15) \quad S_{ж} - S_0 = S_1 + 3,48 \cdot 10^{-3} - [0,01313(T_{kp} - T) + \\ + 0,1212\sqrt{T_{kp} - T}] 10^{-3} f_S, \text{ Дж/кг} \cdot \text{К}, \\ v_{ж} = v_{kp} - 0,433\sqrt{T_{kp} - T} 10^{-3} f_{vж}, \text{ м}^3/\text{кг}, \\ v_r = v_{kp} + 0,433\sqrt{T_{kp} - T} 10^{-3} f_{v_r}, \text{ м}^3/\text{кг},$$

где

$$f_E = 1 - 0,055[(T_{kp} - T)\exp(-(T_{kp} - T)/200)]^{1/2},$$

$$f_S = 1 - 0,455[1 - (1 - (T_{kp} - T)/190)^4]^{0,65};$$

$$f_{vж} = 0,221 + 0,779\exp[-(T_{kp} - T)^{0,55}/9,4];$$

$$S_0 = S[T = 273\text{К}, v = 10^{-3}\text{м}^3/\text{кг}];$$

$$S_1 = S[T = 372\text{К}, p = 10^5\text{Па}] \approx 1,3 \cdot 10^{-3} \text{Дж/кг} \cdot \text{К};$$

$$T_{kp} = 647\text{К}; v_{kp} = 3,17 \cdot 10^{-3}\text{м}^3/\text{кг}$$

(индексы ж и г относятся соответственно к границам конденсат — двухфазное состояние и двухфазное состояние — газ).

Для давления как на границе фаз, так и во всей двухфазной области справедлива интерполяционная зависимость

$$(16) \quad p = [(T - 247)/125]^{4,65} 10^5 \text{Па}.$$

Для двухфазной области будем иметь

$$E(v, T) = [T \partial p / \partial T - p(T)] \times$$

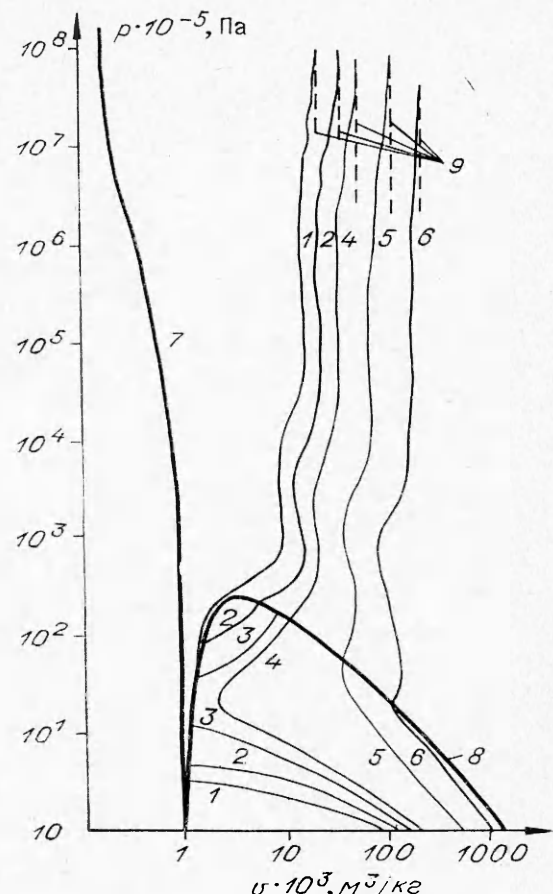
$$\times [v - v_{ж}(T)] + E_{ж}(T),$$

$$S = S_{ж}(T) + [v - v_{ж}(T)] dp / dT,$$

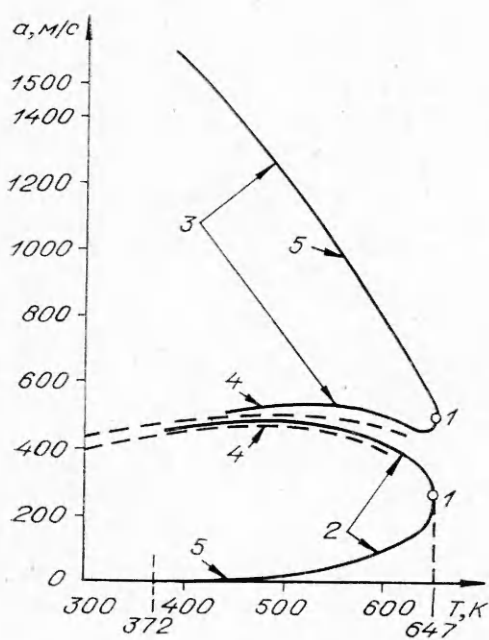
где $E_{ж}$, $S_{ж}$ и $p(T)$ определяются зависимостями (14), (15) и (16).

С целью проверки точности полученной модели проведен ряд сравнений с имеющимися экспериментальными и теоретическими данными.

Сопоставление ударной адиабаты [1] с данными модели (9), (10) показало, что различие между ними по давлению составляет не более 2%, а давления на изэнтропах



Фиг. 1



Фиг. 2

(1—6 — ударные адиабаты, исходящие из области двухфазных состояний при $p_0 = 10^5$ Па и $v_0 = 0,1; 0,16; 0,2; 0,22; 0,5; 1,0 \text{ м}^3/\text{кг}$ соответственно; 7 — ударная адиабата воды, исходящая из точки нормального состояния ($T_0 = 293$ К, $p_0 = 10^5$ Па); 8 — граница двухфазной области; 9 — асимптотика предельного сжатия при $v_0/v = 4$).

Результаты расчетов ударной адиабаты, исходящей из нормального состояния, с точностью до 2% аппроксимируются зависимостью

$$N/a_0 = a + bu/a_0,$$

где a_0 — скорость звука в невозмущенной среде (табл. 3).

Из фиг. 1 видно, что ударные адиабаты, исходящие из двухфазного состояния, в ряде случаев имеют аномальный вид: при повышении давления степень сжатия уменьшается. Этот эффект аналогичен известному эффекту ударного сжатия пористых конденсированных сред.

При определенных условиях ударные адиабаты из области двухфазного состояния выходят в область конденсированного состояния, а затем возвращаются. Следует отметить, что в пределе при больших давлениях все ударные адиабаты стремятся к предельному четырехкратному сжатию относительно начального объема.

На фиг. 2 представлены кривые распределения скорости звука вдоль двухфазной кривой как со стороны двухфазных, так и однородных состояний (сплошные кривые — расчет данной работы; штриховые — данные работы [14]; 1 — критическая точка; 2 — двухфазная среда; 3 — однородная среда; 4 — газ; 5 — конденсированная среда); видно, что при переходе из конденсированного состояния в двухфазную область скорость звука уменьшается от величины 10^3 до $(1-10^2)$ м/с.

Со стороны газа такой переход сопровождается скачком всего в несколько процентов. С газодинамической точки зрения граница конденсированное состояние — двухфазность оказывается инертной по отноше-

Таблица 3

u/a_0	0—0,5	0,5—1,5	1,5—150	≥ 150
a	1	1,15	1,8	-10
b	2	1,7	1,25	1,33

различаются не более 5%.

Различие данных по скорости звука [12—14] в области однородных состояний с данными (9), (10) не превосходит 1%, в области двухфазных состояний — 5%. Изохорная теплоемкость [15] отличается от данных (9), (10) не более чем на 5%.

Ниже в качестве иллюстрации приводятся некоторые расчетные данные по ударной адиабате и скорости звука, представляющие интерес для анализа различных газодинамических задач.

На фиг. 1 показаны результаты расчетов ударных адиабат воды

расчетов ударных адиабат воды

нию к распространению малых возмущений, что может привести к возникновению различных особенностей течения.

В целом приведенные сопоставления и расчеты показывают, что полученные интерполяционные функции вполне удовлетворительно отражают известные термодинамические свойства воды и водяного пара в области давлений $p > 10^5$ Па. Поэтому построенная модель может быть использована при решении различных прикладных задач механики сплошных сред, задач теплопроводности с фазовыми переходами и т. п.

Поступила 20 IX 1977

ЛИТЕРАТУРА

1. Rice M. H., Walsh J. M. Equation of state of water to 250 kilobars.— «J. Chem. Phys.», 1957, vol. 26, N 4, p. 824.
2. Кузнецов Н. М. Уравнение состояния и теплоемкость воды в широком диапазоне термодинамических параметров.— ИМТФ, 1961, № 1.
3. Jüza J. An equation of state for water and steam, Nakladatelstvi Československe. Akademie VĚD Praha, 1966.
4. Вукалович М. П. Теплофизические свойства воды и водяного пара. М., «Машиностроение», 1967.
5. Замыцлиев Б. В., Менжулин М. Г. Интерполяционное уравнение состояния воды и водяного пара.— ИМТФ, 1971, № 3.
6. Ландau Л. Д., Лифшиц Е. М. Статистическая физика. М., «Наука», 1964.
7. Кормер С. Б., Фунтиков А. И., Урлин В. Д., Колесникова А. Н. Динамическое сжатие пористых металлов и уравнение состояния с переменной теплоемкостью при высоких температурах.— ЖЭТФ, 1962, т. 42, вып. 3.
8. Бобровский С. В., Гоголев В. М., Замыцлиев Б. В. О построении приближенных ударных адабат твердых тел в гидродинамической области.— «Докл. АН СССР», 1969, т. 184, № 3.
9. Latter R. Temperature behavior of the Tomas — Fermi statistical model for atoms.— «Phys. Rev.», 1955, vol. 29, N 6.
10. Коньшин В. П. Константа Грюнайзена в приближении Томаса — Ферми.— «Докл. АН СССР», 1965, т. 161, № 5.
11. Баканова А. А., Зубарев В. В., Сутулов Ю. Н., Трунин Р. Ф. Термодинамические свойства воды при высоких давлениях и температурах.— ЖЭТФ, 1975, т. 68, вып. 3.
12. Барк Л. С., Гансон П. П., Мейстер И. А. Таблицы скорости звука в морской воде. М., Вычислительный центр АН СССР, 1961.
13. Smith A. H., Lawson A. W. The velocity of sound in water as a function of temperature and pressure.— «J. Chem. Phys.», 1954, vol. 22, N 3.
14. Сычев В. В. Скорость звука в воде и водяном паре на линии насыщения.— «Инж.-техн. журн.», 1961, т. IV, № 6.
15. Мамедов А. М. Уравнение состояния, энталпий и теплоемкости воды согласно новым международным скелетным таблицам воды и водяного пара.— ТВТ, 1968, т. 6, вып. 4.

УДК 539.2

ТЕРМОДИНАМИЧЕСКИ ПОЛНЫЕ УРАВНЕНИЯ СОСТОЯНИЯ МЕТАЛЛОВ (ТВЕРДАЯ ФАЗА)

B. A. Жданов, A. B. Жуков

(Томск)

Термодинамически полные уравнения состояния твердых тел строятся либо на феноменологической основе [1], либо на основе модельных представлений на атомном уровне [2]. Первый путь связан с необходимостью предварительного полного экспериментального изучения термодинамических свойств материала, результаты которого закладываются в систему дифференциальных урав-